



DESIGNING A NEW MULTI-OBJECTIVE MODEL FOR A PROCUREMENT-PRODUCTION-DISTRIBUTION NETWORK DESIGN PROBLEM IN A GREEN SUPPLY CHAIN BY A GRAVITATIONAL SEARCH ALGORITHM

Reza Tavakkoli-Moghaddam*, Behnaz Jafarmazdeh & Saber Molla-Alizadeh-Zavardehi

Reza Tavakkoli-Moghaddam, Professor of Industrial Eng., College of Eng., University of Tehran

Behnaz Jafarmazdeh, Department of Industrial Engineering, Mazandaran University of Science & Technology

Saber Molla-Alizadeh-Zavardehi, Department of Industrial Engineering, MasjedSoleyman Branch, Islamic Azad University

Keywords

**Green Supply Chain,
Network Design,
Multi-objective,
Optimization,
Gravitational Search
Algorithm**

ABSTRACT

This paper presents a new multi-objective model for a procurement-production-distribution network design problem in a 4-level green supply chain. It considers three objectives that minimize: (1) the total system costs as a quantitative objective, consisting of purchase costs of raw materials from suppliers and transport them to producers, environmental protection investments in production centers, production costs and transportation costs of the final product between producers, distribution centers and customers, (2) the total delay in delivery the products to customers as a qualitative objective and (3) the total amount of CO₂ emission in all of the supply chain as a green objective, in order to control the environmental harmful effects of the supply chain. To solve the presented model, a multi-objective gravitational search algorithm (MOGSA) with two different solution representation methods, namely Prefer number and priority-based coding, is applied to find a Pareto optimal set of solutions. A number of random test problems with different sizes are solved by the proposed MOGSA and NSGA-II. Finally, the computational results are reported and analyzed.



طراحی شبکه خرید-تولید-توزيع چند هدفه در زنجیره تأمین سبز با الگوریتم جستجوی گرانشی چند هدفه

رضا توکلی مقدم^{*} ، بهناز جعفرمざده و صابر ملاعلیزاده زواردهی

چکیده:

در این مقاله، یک شبکه خرید - تولید - توزیع یکپارچه برای یک زنجیره تأمین سبز چهار سطحی طراحی می شود که در آن سه هدف متناقض زیر در نظر گرفته شده است: ۱) حداقل کردن هزینه کل سیستم به عنوان هدفی کمی که شامل هزینه خرید و ارسال مواد اولیه از تأمینکنندگان به تولیدکنندگان، هزینه ناشی از سرمایه‌گذاری‌های زیست محیطی در مراکز تولید، هزینه تولید محصول نهایی و هزینه‌های توزیع و ارسال محصول از تولیدکنندگان به مراکز توزیع و فروش می‌باشد، ۲) حداکثر کردن سطح سرویس‌دهی و خدمات رسانی به مشتریان به عنوان هدفی کیفی که با حداقل کردن کل تأخیرها در تحویل کالاها به مشتریان، میسر می‌گردد و ۳) حداقل کردن میزان کل دیاکسید کربن منتشر شده در اثر تولید و توزیع محصول در کل زنجیره، به عنوان هدفی سبز که به منظور کنترل و حداقل کردن اثرات مخرب زیست محیطی زنجیره تأمین در نظر گرفته شده است. پس از ارائه مدل ریاضی توسعه یافته برای مسئله، رویکرد حل چند هدفه بر اساس الگوریتم جستجوی گرانشی با دو نحوه نمایش متمایز، کدگذاری عدد پروفر و نمایش اولویت محور، برای جواب‌های مسئله به منظور یافتن مجموعه جواب‌های بهینه پارتو ارائه و برای تعدادی مسئله نمونه تصادفی در ابعاد مختلف حل و با الگوریتم NSGA-II مقایسه می‌شود.

کلمات کلیدی:

زنジره تأمین سبز،

طراحی شبکه،

بهینه‌سازی چند هدفه،

الگوریتم جستجوی گرانشی

در دیدگاه مرسوم و گذشته، مدیریت زنجیره تأمین شامل هدایت تمام اعضای زنجیره تأمین به صورت یکپارچه و همانگ با هدف بهبود عملکرد، جهت ارتقا بهره‌وری و سود بیشتر بود و مدیران زنجیره تأمین به دنبال تحويل سریعتر کالا و خدمات، کاهش هزینه و افزایش کیفیت بودند [۱]. اما بهبود عملکرد زیست محیطی زنجیره تأمین و اهمیت هزینه‌های اجتماعی و تخریب محیط زیست لحظه نمی‌گردید. فشار مقررات دولتی برای اخذ استانداردهای زیست محیطی از یک طرف و رشد فراینده تقاضای مشتریان برای عرضه محصولات سبز (بدون اثر مخرب بر محیط زیست) از طرف دیگر مفهوم زنجیره تأمین سبز و مدیریت آن را پدیدار ساخت. امروزه مدیران زنجیره تأمین سبز در شرکت‌های پیشرو از طریق ایجاد مطلوبیت و رضایتمندی از منظر زیست محیطی در سراسر زنجیره تأمین می‌کوشند تا از لجستیک سبز و بهبود عملکرد زیست محیطی خود در کل زنجیره تأمین عنوان یک سلاح استراتژیک جهت کسب مزیت رقابتی پایدار سود ببرند و اهداف

۱. مقدمه

جهانی شدن اقتصاد و توسعه فناوری اطلاعات باعث گردیده بازار عرضه محور به بازار تقاضا محور تغییر یابد و سازمان‌ها برای حفظ و بقای خود به اهمیت اراضی نیاز مشتریان پی بردند. بر این اساس مدیریت زنجیره تأمین اهمیت پیدا کرد، زیرا اراضی نیازها و علائق مشتریان نه فقط توسط آخرین حلقة متصل به مشتری، یعنی محصول نهایی است، بلکه توسط سایر تأمین‌کنندگان بالا دست صورت می‌گیرد.

تاریخ وصول: ۹۱/۱۰/۵

تاریخ تصویب: ۹۲/۷/۲

بهناز جعفرمざده: دانشگاه علوم و فنون مازندران،

jmazdeh.behnaz@gmail.com

صابر ملاعلیزاده زواردهی: مری دانشگاه آزاد اسلامی، مسجد سلیمان،

saber.alizadeh@iaumis.ac.ir

*نویسنده مسئول مقاله: دکتر رضا توکلی مقدم، استاد دانشکده

مهندسی صنایع، پردیس دانشکده‌های فنی، دانشگاه تهران،

tavakoli@ut.ac.ir

پارتو برای دستیابی به جواب‌های نزدیک بهینه پیشنهاد کردند. پیشوایی و همکاران [۱۳] مدل ریاضی فازی دو هدفه بر اساس رتبه‌بندی، برای طراحی پیکربندی استراتژیک یک شبکه لجستیک سبز با اهداف کمینه‌سازی هزینه و تأثیرات محیطی پیشنهاد دادند. آزیدو و همکاران [۱۴] تأثیر عملیات سبز را بر مدیریت زنجیره تأمین بررسی نمودند. آنها داده‌های تجربی از ۵ مورد مطالعاتی را تحلیل کرده و مدلی را طراحی کردند که نشان دهنده عملیات سبزی است که تأثیر مثبت بر روی کیفیت، رضایت مشتریان و کارایی زنجیره تأمین دارد.

بوس و پل [۱۵] سؤال آیا مدیریت زنجیره سبز بر روی قیمت موجودی شرکت تأثیر دارد یا نه را مطرح نموده و در راستای این سؤال 10^4 گروه داده را با استفاده از یک تحقیق تحلیل نمودند. تی سنگ [۱۶] مدیریت زنجیره تأمین سبز چندهدفه را با وجود اطلاعات ناقص و مزیت زبانی بررسی کرد. اهداف لحاظ شده در این تحقیق کاهش دادن آلودگی شرکتها و سایر تأثیرات محیطی تعریف شده است که وزن این اهداف بوسیله مزیتهای زبانی که با تنویری مجموعه فازی حل شده است، توصیف شده‌اند. وانگ و همکاران [۱۷] یک مدل سلسه مراتبی فازی دو مرحله‌ای را برای تشخیص رسیک راهاندازی قوانین سبز در یک زنجیره تأمین ارائه دادند. آنها از ترکیب منطق فازی با یک روش بر پایه جمعیت برای حل مدل مورد نظر با پارامترهای نامعین استفاده کردند. کوو و همکاران [۱۸] برای انتخاب تأمین‌کنندگان در زنجیره تأمین سبز الگوریتم ترکیبی شبکه عصی مصنوعی - تحلیل دوگانه چندصفته را ارائه داده و برای تحلیل داده‌ها از طراحی آزمایشات و پردازش شبکه تحلیلی استفاده کردند. شوو و جی‌چن [۱۹] مدل تئوری بازی سه مرحله‌ای را برای تحلیل تأثیر مداخله‌های اقتصادی و مالی حکومتی بر رقابت بین زنجیره‌های تأمین سبز پیشنهاد کردند. نتایج تحلیلی آنها نشان می‌دهد که برای مثبت بودن سود تولید محصولات سبز، حکومت باید مالیات‌های سبز و کمک‌های مالی منطبق را وضع کند. خان و همکاران [۲۰] برای طراحی پروسه سبز و پاکیزگی، مدلی با هدف کمینه سازی تأثیرات محیطی ارائه داده و برای حل مدل و طراحی پروسه، یک متداول‌وزیری جدید که تا آن زمان مطرح نشده بود، پیشنهاد دادند. شوو [۲۱] به بررسی مدیریت زنجیره تأمین سبز، لجستیک معکوس و تولید انرژی هسته‌ای پرداخت. وی یک مدل خطی چندهدفه به همراه یک الگوریتم بهینه‌سازی که عملیات تولید انرژی هسته‌ای و لجستیک معکوس را بهینه می‌کند، ارائه کرد.

زوو و همکاران [۲۲] مدل‌های تحلیلی و شبیه‌سازی مختلفی جهت بهبود انتخاب و ارزیابی استراتژی تولید سبز مطالعه کردند. دیبات و گویندان [۲۳] مدلی جهت بررسی تأثیر

خد را براساس سه موضوع مهم؛ طراحی سبز (محصول)، تولید سبز (فرآیند) و بازیافت محصول، پایه‌گذاری می‌کنند [۲]. اتخاذ استراتژی سرمایه‌گذاری در زمینه بهبود عملکرد زیست محیطی زنجیره تأمین مزایا و منافع زیادی را مانند صرفه‌جویی در منابع انرژی، کاهش آلاینده‌ها، حذف یا کاهش ضایعات، ایجاد ارزش برای مشتریان و درنهایت ارتقای بهره‌وری را برای شرکت‌ها و سازمان‌ها به همراه خواهد داشت [۳]. فعالیت‌های مربوط به فاز تولید و ساختار شبکه حمل و نقل در زنجیره تأمین، بیشترین تأثیر را در آلوگریتیم گازهای گلخانه‌ای از جمله گاز دی‌اکسید کربن دارد. تصمیم‌گیری در رابطه با میزان سرمایه‌گذاری زیست محیطی در زنجیره تأمین، جهت انتخاب تجهیزات و تکنولوژی تولید، نقش مهمی را در فاز تولید سبز می‌تواند داشته باشد.

یکپارچه‌سازی و هماهنگی سیستم‌های مجتمع خرید-تولید-توزیع موضوع بسیاری از تحقیقات مسائل زنجیره تأمین در سالهای اخیر شده است. بیلگن و اوزکاراهان [۴]، آرشیندر و همکاران [۵]، میولا و همکاران [۶] یک مور کامل بر روی مدل‌های تولید و توزیع انجام دادند. کاندرا و فیشر [۷] یک مقاله بنیادی در مورد سیستم یکپارچه تولید، موجودی و توزیع منتشر کردند که به بررسی یک سیستم دو مرحله‌ای شامل تنها یک تولیدکننده که محصول نهایی را تولید می‌کند و مسیریابی این محصولات بطوری که تقاضای خرده‌فروش‌ها تأمین گردد، می‌پرداخت.

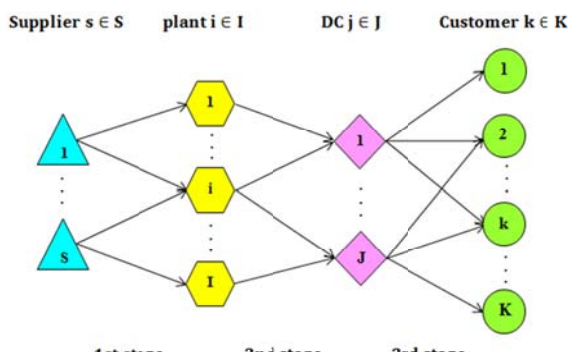
به دلیل اهمیت زنجیره تأمین سبز در دنیای واقعی محققان بسیاری نیز در این زمینه به تحقیق پرداخته‌اند که در ادامه به ذکر بعضی از آنها خواهیم پرداخت. سارکیز و همکاران [۸] بطور نظری به مرور تحقیقات صورت گرفته در مسئله مدیریت زنجیره تأمین سبز پرداختند. فورتر [۹] بر تحقیقات صورت گرفته در سال‌های قبل پرداخت. وی بر روی عملیات سبز، طراحی سبز، کارخانجات سبز و لجستیک معکوس تمرکز کرده است. دکر و همکاران [۱۰] به مسئله لجستیک سبز و مرور تحقیقات صورت گرفته در این زمینه پرداختند. آنها به بررسی جنبه‌های مختلف، عملکرد، مشارکت و چالش‌های لجستیک سبز پرداختند. وانگ و همکاران [۱۱] مسئله طراحی زنجیره تأمین را با توجه به جنبه زیست محیطی مطالعه کردند. آنها در فاز طراحی مطالعه‌شان به تصمیمات سرمایه‌گذاری محیطی توجه کرده و یک مدل دو هدفه با اهداف کمینه‌سازی هزینه کلی و تأثیرات محیطی را ارائه دادند. وی و چانگ [۱۲] با توجه به اهمیت قوانین محیط زیست برای شبکه زنجیره تأمین سبز یک مدل برنامه‌ریزی ریاضی با چهار معیار هزینه، زمان، کیفیت محصول و درجه ارزیابی سبز ارائه دادند. آنها برای حل مسئله مطرح شده دو الگوریتم رشته‌کاریک چندهدفه بر پایه آرشیو

نتایج محاسباتی و مقایسه الگوریتمها با شاخص‌های معروفی شده، در بخش ۴ ارائه می‌شود. نهایتاً در بخش ۵، نتیجه‌گیری و برخی از مزینه‌های تحقیقاتی آتی در ارتباط با موضوع تحقیق بیان خواهد شد.

۲. بیان مسئله و مدل‌سازی ریاضی

همانند شکل ازنジیره تأمینی را در نظر بگیرید که در سطح اول آن S تأمین‌کننده با ظرفیت محدود وجود دارد که R نوع ماده اولیه یا محصول نیمه‌ساخته را برای کارخانه‌ها فراهم می‌کند. در سطح دوم I کارخانه با ظرفیت تولید محدود، در سطح سوم J مرکز توزیع با ظرفیت محدود و در سطح چهارم L مشتری با تقاضای قطعی و معین وجود دارد. مجموعاً K سطح حفاظتی زیست محیطی برای کارخانه‌ها در نظر گرفته شده که متناظر با هر سطح، تکنولوژی تولید و تجهیزات و ماشین‌های متایزی بکار گرفته می‌شود. هرچه سطح حفاظتی زیست محیطی تصمیم‌گیری شده بیشتر باشد، هزینه ناشی از سرمایه گذاری‌های زیست محیطی افزایش می‌یابد. اما در مقابل، میزان دی‌اکسید کربن انتشار یافته در اثر تولید محصول کاهش می‌یابد. سایر مفروضات مسئله به شرح زیر است:

- تمامی تقاضاهای مشتریان باید ارضاء شود، ضمن اینکه تقاضای هر مشتری می‌تواند توسط چند توزیع کننده تأمین گردد.
- حمل و نقل درون شبکه از نوع حمل و نقل با هزینه ثابت^۲(FCT) است.
- ظرفیت تولید، میزان مصرف مواد اولیه به ازای تولید واحد محصول و هزینه تولید واحد محصول برای کارخانه‌ها، متغیر و متناسب با سطح حفاظتی زیست محیطی تصمیم‌گیری شده برای هر کارخانه، تعیین می‌گردد.



شکل ۱. شبکه زنجیره تأمین سه مرحله‌ای

پارامترها

$$\begin{aligned} SP_{sr} & \text{ ظرفیت تأمین‌کننده } S \text{ برای ماده اولیه } r \\ M_{il} & \text{ ظرفیت کارخانه } i \text{ با سطح حفاظتی زیست محیطی } l \end{aligned}$$

محركهای پیاده‌سازی مدیریت زنجیره تأمین سبز با استفاده از پیکربندی مدل‌سازی تصویری ارائه کردند. شارما و آر لیر [۲۴] به بررسی روشهای توسعه محصولات سبز با در نظر گرفتن محدودیت منابع در کشورهای چین و هند که کارخانجات‌شان توانایی تغییر مدل‌های سنتی تولید محصولات را دارند، پرداختند. کوکچیلا و همکاران [۲۵] به بررسی مسئله زنجیره تأمین سبز و کارخانجات بازیافت انرژی پرداختند. آنها مکان‌یابی این کارخانه‌ها با اهداف کمینه‌سازی آلودگی هوا و حداقل کردن سود را مطالعه کردند. لی و همکاران [۲۶] یک مدل برای ارزیابی تأمین‌کنندگان سبز در صنایع با تکنولوژی پیشرفته ارائه دادند. آنها از روش دلفی ابتدا برای تفاوت قائل شدن بین تأمین‌کنندگان سنتی و تأمین‌کنندگان سبز و سپس برای ارزیابی معیارهای انتخاب و کارایی تأمین‌کنندگان سبز استفاده کردند. لای و وانگ [۲۷] مسئله مدیریت لجستیک سبز و کارایی را در بعضی از کارخانجات چین مطالعه کردند. عبدالله و همکاران [۲۸] به مطالعه زنجیره تأمین سبز در داد و ستد الماس و منابع محیطی پرداختند. آنها یک مدل برنامه‌ریزی عدد صحیح مختلط با هدف کمینه کردن اوراق قرضه در زنجیره تأمین با رعایت قوانین زیست محیطی و سبز ارائه نمودند. لان [۲۹] به بررسی عناصر مدیریت سبز و ارتباطش با کارایی کارخانه پرداخته و مدلی را برای انطباق این عناصر و کارایی کارخانه ارائه داده است.

در این مقاله، ابتدا یک مدل یکپارچه خرید - تولید - توزیع در یک زنجیره تأمین چهار سطحی (شامل تأمین‌کننده‌ها، تولیدکننده‌ها، توزیع‌کننده‌ها و مشتریان) با سه هدف متناقض، کمینه‌سازی کل هزینه‌های سیستم، به عنوان هدفی کمی، کمینه‌سازی کل تأخیرها در تحويل کالاها به مشتریان، به عنوان هدفی کیفی و کمینه‌سازی کل میزان دی‌اکسید کربن منتشر شده در سیستم، به عنوان هدف سازگاری هرچه بیشتر با محیط زیست توسعه داده می‌شود. به دلیل پیچیدگی محاسباتی مدل‌های زنجیره تأمین در ابعاد بزرگ، این مسائل در کلاس مسائل چند جمله‌ای غیر قطعی سخت (NP-hard) [۳۰] قرار می‌گیرند. از این رو معمولاً برای حل اینگونه مسائل از روش‌های فرالبتکاری استفاده می‌شود که در زمان معقولی نسبت به روش‌های دقیق، جواب‌های بهینه یا نزدیک بهینه تولید می‌کنند. بر این اساس، رویکرد حل مبتنی بر آرشیو بهینه پارتو برای الگوریتم جستجوی گرانشی چند هدفه و الگوریتم مرتب‌سازی نامغلوب رئتیک ۲ (NSGA-II) با دو نحوه نمایش جواب عدد پروف و اولویت محور بکار گرفته شده است.

ساختار مطالب این مقاله به شرح زیر می‌باشد؛ در بخش ۲، بیان مسئله و مدل‌سازی ریاضی یا سیز ارائه می‌شود. در بخش ۳، الگوریتم‌های حل توسعه داده شده برای مسئله، تشریح می‌گردد.

به این ترتیب مدل ریاضی مسأله عبارتست از:

$$\min f_1 = \sum_s \sum_i \sum_r c_{sir}^{(1)} \cdot x_{sir}^{(1)} + \sum_s \sum_i f_{si}^{(1)} \cdot y_{si}^{(1)} + \sum_i \sum_l G_{il} \cdot z_{il} + \sum_i \sum_l V_{il} \cdot x_{il} + \sum_i \sum_j (c_{ij}^{(2)} \cdot x_{ij}^{(2)} + f_{ij}^{(2)} \cdot y_{ij}^{(2)}) + \sum_j \sum_k (c_{jk}^{(3)} \cdot x_{jk}^{(3)} + f_{jk}^{(3)} \cdot y_{jk}^{(3)}) \quad (1)$$

$$\min f_2 = \sum_k \sum_j p_k \cdot m_a x(0, h_{jk} - t_k) \cdot x_{jk}^{(3)} \quad (2)$$

$$\min f_3 = \sum_i \sum_l W_{il} \cdot x_{il} + \sum_s \sum_i \sum_r e_{si}^{(1)} \cdot x_{sir}^{(1)} + \sum_i \sum_j e_{ij}^{(2)} \cdot x_{ij}^{(2)} + \sum_j \sum_k e_{jk}^{(3)} \cdot x_{jk}^{(3)} \quad (3)$$

s.t.

$$\sum_j x_{jk}^{(3)} = D_k \quad \forall k \quad (4)$$

$$\sum_k x_{jk}^{(3)} = \sum_l x_{lj}^{(2)} \quad \forall j \quad (5)$$

$$\sum_l x_{lj}^{(2)} \leq N_j \quad \forall j \quad (6)$$

$$\sum_l u_{ril} \cdot x_{il} \leq \sum_s x_{sir}^{(1)} \quad \forall i, r \quad (7)$$

$$x_{il} \leq M_{il} \cdot z_{il} \quad \forall i, l \quad (8)$$

$$\sum_j x_{ij}^{(2)} = \sum_l x_{il} \quad \forall i \quad (9)$$

$$\sum_l z_{il} = 1 \quad \forall i \quad (10)$$

$$\sum_i x_{sir}^{(1)} \leq S P_{sr} \quad \forall s, r \quad (11)$$

$$\sum_r x_{sir}^{(1)} \leq y_{si}^{(1)} \cdot \sum_k D_k \cdot \max_{i,l}(u_{ril}) \quad \forall s, i \quad (12)$$

$$x_{ij}^{(2)} \leq y_{ij}^{(2)} \cdot \sum_k D_k \quad \forall i, j \quad (13)$$

$$x_{jk}^{(3)} \leq y_{jk}^{(3)} \cdot \sum_k D_k \quad \forall j, k \quad (14)$$

$$y_{si}^{(1)}, y_{ij}^{(2)}, y_{jk}^{(3)}, z_{il} \in \{0,1\} \quad \forall s, i, j, k, l \quad (15)$$

$$x_{sir}^{(1)}, x_{ij}^{(2)}, x_{jk}^{(3)}, x_{il} \geq 0 \quad \forall s, i, j, k, r, l \quad (16)$$

تابع هدف (۱) شامل حداقل ساختن مجموع هزینه‌های: خرید و ارسال مواد اولیه از تأمین‌کنندگان به کارخانه‌ها (هزینه‌های ثابت و متغیر ارسال)، سرمایه‌گذاری‌های زیست محیطی در کارخانه‌ها، تولید محصول در کارخانه‌ها، ارسال محصول نهایی از کارخانه‌ها به مراکز توزیع (هزینه‌های ثابت و متغیر ارسال) و از مراکز توزیع به مراکز فروش (هزینه‌های ثابت و متغیر ارسال) می‌باشد. تابع هدف (۲) مجموع کل کالاهایی که با تأخیر بر حسب تعداد و در واحد زمان به دست مشتریان می‌رسد را با ضرایب وزنی جریمه دیرکردنی هر مشتری، که لزوماً از جنس هزینه نیستند و می‌توانند با توجه به اولویتی که هر مشتری

| | |
|--------------------------------------------------------------------------------------------------|-----------------|
| ظرفیت توزیع کننده j | N_j |
| تلاضعی مشتری k | D_k |
| هزینه ثابت ارسال از تأمین‌کننده S به کارخانه i | $f_{si}^{(1)}$ |
| هزینه ثابت ارسال از کارخانه i به توزیع کننده j | $f_{ij}^{(2)}$ |
| هزینه ثابت ارسال از توزیع کننده j به مشتری k | $f_{jk}^{(3)}$ |
| هزینه تولید واحد محصول کارخانه i با سطح حفاظتی زیست محیطی l | V_{il} |
| هزینه خرید و ارسال واحد ماده اولیه r از تأمین‌کننده S به کارخانه i | $c_{sir}^{(1)}$ |
| هزینه ارسال واحد کالا از کارخانه i به توزیع کننده j | $c_{ij}^{(2)}$ |
| هزینه ارسال واحد کالا از توزیع کننده j به مشتری k | $c_{jk}^{(3)}$ |
| میزان مصرف ماده اولیه r به ازای تولید واحد کالا توسعه کارخانه i با سطح حفاظتی زیست محیطی l | u_{ril} |
| حداکثر زمان تحویل قابل قبول برای مشتری k | t_k |
| زمان ارسال کالا از توزیع کننده j به مشتری k | h_{jk} |
| جریمه وزنی دیرکرد تحویل واحد کالا در واحد زمان برای مشتری k | p_k |
| میزان CO_2 منتشر شده در اثر ارسال یک واحد ماده اولیه از تأمین‌کننده S به کارخانه i | $e_{sir}^{(1)}$ |
| میزان CO_2 منتشر شده در اثر ارسال یک واحد کالا از تولیدکننده i به توزیع کننده j | $e_{ij}^{(2)}$ |
| میزان CO_2 منتشر شده در اثر ارسال یک واحد کالا از توزیع کننده j به مشتری k | $e_{jk}^{(3)}$ |
| میزان CO_2 منتشر شده در اثر تولید یک واحد کالا توسعه کارخانه i با سطح حفاظتی زیست محیطی l | W_{il} |
| میزان سرمایه‌گذاری برای کارخانه i با سطح حفاظتی زیست محیطی l | G_{il} |
| متغیرهای تصمیمی | |
| اگر تأمین‌کننده S به کارخانه i ماده اولیه ارسال کند ۱ و در غیر اینصورت ۰ | $y_{si}^{(1)}$ |
| اگر کارخانه i به توزیع کننده j کالا ارسال کند ۱ و در غیر اینصورت ۰ | $y_{ij}^{(2)}$ |
| اگر توزیع کننده j به مشتری k کالا ارسال کند ۱ و در غیر اینصورت ۰ | $y_{jk}^{(3)}$ |
| میزان ماده اولیه از نوع r ارسالی از تأمین‌کننده S به کارخانه i | $x_{sir}^{(1)}$ |
| میزان کل کالای تولید شده توسعه کارخانه i با سطح حفاظتی زیست محیطی l | x_{il} |
| میزان کالای ارسالی از کارخانه i به توزیع کننده j | $x_{ij}^{(2)}$ |
| میزان کالای ارسالی از توزیع کننده j به مشتری k | $x_{jk}^{(3)}$ |
| اگر برای کارخانه i سطح حفاظتی زیست محیطی l تصمیم‌گیری شود ۱ و در غیر اینصورت ۰ | z_{il} |

مدل ریاضی پیشنهادی، یک مدل برنامه‌ریزی خطی عدد صحیح^۷(ILP) می‌باشد که در بخش بعد، رویه حل آن بر اساس روش‌های فراباگتری^۸ توسعه داده می‌شود.

۳. رویکرد حل مسئله

اخیراً استفاده از الگوریتم‌های فراباگتری تکاملی مبتنی بر جمعیت برای بهینه‌سازی چندهدفه، جهت یافتن مجموعه جواب‌های بهینه پارتوی نامغلوبی که هیچ یک بر دیگری برتری ندارد، بسیار مورد توجه قرار گرفته است. بر همین اساس برای حل مدل ارائه شده در این مقاله، رویکرد چندهدفه الگوریتم جستجوی گرانشی و الگوریتم مرتب سازی نامغلوب ژنتیک^۲ توسعه داده می‌شوند. الگوریتم جستجوی گرانشی که توسط راشدی و همکاران^[۳۱] ارائه شد، بر پایه قوانین جاذبه نیوتون و حرکت ذرات استوار است. رویکرد چندهدفه آن در ادامه تشریح می‌گردد، اما قبل از آن دو روش نمایش در نظر گرفته شده برای جواب‌های مسئله بیان می‌گرددند.

۳.۱. نحوه نمایش جواب‌ها

با توجه ساختار شبکه‌ای مسئله و تعداد زیاد متغیرهای آن خصوصاً در مسائل با ابعاد بزرگ، انتخاب روشی مناسب برای نمایش جواب‌ها که در عین ساده بودن و حافظه کمی را اشغال کردن، کل فضای جواب مسئله را هم پوشش بدهد، از اهمیت زیادی برخوردار است.

۳.۱-۱. نمایش عدد پروفرو^۵

در این مقاله از روش عدد پروفرو اصلاح شده‌ای که توسط حاجی آقایی و همکاران^[۳۲] ارائه شده است، استفاده می‌شود. در این روش برای یک شبکه حمل و نقل متشکل از m مبدأ و مقصد، یک کروموزوم به صورت یک رشته عددی $m+n-2$ بیتی^۶ از مجموعه $\{1, 2, \dots, m, m+1, \dots, m+n\}$ است. شرط شدنی بودن کروموزوم این است که به تعداد $n-1$ بیت از مجموعه $\{1, 2, \dots, m\}$ و $m-1$ بیت از مجموعه $\{m+1, \dots, m+n\}$ انتخاب شده باشد. بعنوان مثال برای یک شبکه با $m=3$ و $n=5$ یک کروموزوم شدنی به صورت شکل ۲ می‌باشد.

| | | | | | | |
|---------|---|---|---|---|---|---|
| $P(T):$ | 1 | 7 | 3 | 2 | 6 | 3 |
|---------|---|---|---|---|---|---|

شکل ۲. نمایش یک کروموزوم شدنی عدد پروفرو

در ادامه طریقه کدگشایی عدد پروفرو برای تبدیل یک کروموزوم به جوابی از فضای حل مسئله ارائه می‌گردد. باید توجه داشت که مجموع ظرفیت‌ها، حداقل می‌بایست برابر با مجموع تقاضاهای باشد.

برای زنجیره دارد تعیین گردن، حداقل می‌سازد.تابع هدف (۳) مجموع میزان دی‌اکسید کربن منتشر شده در اثر: تولید محصول در کارخانه‌ها، ارسال مواد اولیه از تأمین‌کنندگان به کارخانه‌ها، ارسال محصول نهایی از کارخانه‌ها به مراکز توزیع و از مراکز توزیع به مراکز فروش را کمینه می‌سازد. در رابطه با تضاد موجود بین اهداف؛ کاهش میزان دی‌اکسید کربن ناشی از تولید در کارخانه‌ها مستقیماً منجر به افزایش سرمایه‌گذاری زیست محیطی در کارخانه‌ها می‌گردد (تضاد اهداف ۱ و ۳). از آنجایی که هزینه و زمان ارسال کالا بین دو گره از شبکه، لزوماً متناسب با مسافت بین گره‌ها نیست و با توجه به موقعیت جغرافیایی گره‌ها و نوع وسیله نقلیه موجود بین آن‌ها تعیین می‌گردد، لذا دو گره‌ای که فاصله زمانی کمتری دارند ممکن است هزینه ارسال بیشتری را داشته باشند (تضاد اهداف ۱ و ۲). با توجه به نوع وسائط نقلیه موجود بین گره‌ها، میزان دی‌اکسید کربن منتشر شده در اثر ارسال لزوماً متناسب با فاصله زمانی بین گره‌ها نیست (تضاد اهداف ۲ و ۳).

با توجه به فرض برآورده شدن کلیه تقاضاهای مشتریان، محدودیت (۴) تضمین می‌کند که کلیه کالاهای ارسالی از توزیع‌کنندگان به هر مشتری برابر با تقاضای آن مشتری باشد. محدودیت (۵) بیانگر شرط تعادل در ورود و خروج کالاهای برای هر توزیع‌کننده است. محدودیت (۶) تضمین می‌کند که کلیه کالاهای وارد شده به هر توزیع‌کننده بیشتر از ظرفیت آن نباشد. محدودیت (۷) بیانگر این است که کلیه مواد اولیه مصرفی در هر کارخانه جهت تولید محصول، نباید بیشتر از مقداری باشد که به کارخانه ارسال شده است. محدودیت (۸) متناسب آنست که کل کالاهای تولید و ارسالی از هر کارخانه بیشتر از ظرفیت تولید آن نباشد. محدودیت (۹) تضمین می‌کند که کل کالاهای ارسالی از هر کارخانه به مراکز توزیع، برابر با کل تولید آن کارخانه باشد. محدودیت (۱۰) مبنی آنست که برای هر کارخانه تنها یک سطح حفاظتی زیست محیطی تصمیم‌گیری شود. محدودیت (۱۱) تضمین می‌کند که کلیه مواد اولیه ارسالی از هر تأمین‌کننده به کارخانه‌ها بیشتر از ظرفیت آن تأمین‌کننده نباشد. با توجه به اینکه حمل و نقل‌ها در این مدل از نوع هزینه ثابت (FCT) می‌باشد، علاوه بر هزینه‌های متغیر به ازای تعداد واحدهای ارسالی بین هر دو گره در شبکه، هزینه ثابت بازگشایی مسیر هم در نظر گرفته می‌شود. محدودیت‌های (۱۲)، (۱۳) و (۱۴) متناسب آنند که در هر مرحله از شبکه، اگر کالا یا ماده اولیه ارسال می‌شود، متغیر باینتری مربوطه برای در نظر گرفتن هزینه ثابت ارسال، یک گردد. محدودیت‌های (۱۵) و (۱۶) به ترتیب صفر یا یک بودن و نامنفی بودن متغیرهای تصمیم مدل را بیان می‌کنند.

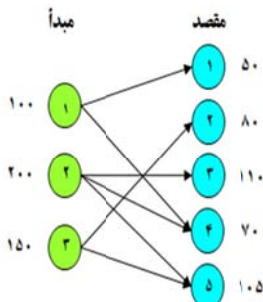
اگر $1 > u > z$ ، در اینصورت یک زیر مسئله حمل و نقل
با u مبدأ و z مقصد بوجود می‌آید. ابتدا یک کروموزوم شدنی برای آن تولید و سپس قدمهای اول تا چهارم تکرار می‌گردد.

شبکه حمل و نقل حاصل از کدگشایی کروموزوم شکل ۲، به صورت شکل ۳ می‌باشد.

$$P(T) = \begin{array}{|c|c|c|c|c|c|} \hline 1 & 7 & 2 & 2 & 6 & 2 \\ \hline \end{array}$$

$$P'(T) = \begin{array}{|c|c|c|} \hline 4 & 5 & 8 \\ \hline \end{array}$$

$$X = \begin{pmatrix} 40 & 0 & 0 & 50 & 0 \\ 0 & 0 & 110 & 20 & 25 \\ 0 & 80 & 0 & 0 & 20 \end{pmatrix}$$



شکل ۳. شبکه حاصل از کدگشایی عدد پروف

۳-۲. نمایش اولویت محور

در این بخش روش نمایشی که گن و همکاران [۳۳] ارائه کردند را شرح می‌دهیم. در این روش، برای یک شبکه حمل و نقل متشکل از m مبدأ و n مقصد، یک کروموزوم شدنی به صورت یک جایگشت $m+n$ بیتی در نظر گرفته می‌شود که مقداری متناظر با هر گره در واقع درخت شبکه حمل و نقل، داده می‌شود. مشارکت در ساختن درخت شبکه حمل و نقل، مورد $n=5$ و $m=3$ بعنوان مثال برای شبکه حمل و نقل با $k=8$ مورد بررسی در بخش قبل، یک کروموزوم شدنی به صورت شکل ۴ می‌باشد.



شکل ۴. نمایش یک کروموزوم شدنی اولویت محور

این روش نمایش نسبت به روش قبلی، چه در تولید کروموزوم شدنی و چه در کدگشایی، از ساختار ساده‌تری برخوردار است. ضمن اینکه در کدگشایی آن از ماتریس هزینه ارسال، برای تولید جوابی با مجموع هزینه حمل و نقل کمتر، استفاده می‌شود. در ادامه طریقه کدگشایی روش اولویت محور ارائه می‌گردد.

رویه ۲: کدگشایی اولویت محور

ورودی: a_i : ظرفیت مبادی، b_j : تقاضای مقاصد، c_{ij} : ماتریس هزینه حمل و نقل واحد کالا و $v(k)$: کروموزوم

خروجی: گراف شبکه حمل و نقل (x_{ij})

رویه ۱: کدگشایی عدد پروف

ورودی: کروموزوم شدنی $P(T)$ ، مقادیر ظرفیت‌های مبادی (a_i) و تقاضاهای مقاصد (b_j) ؛ $i, j \in D$

خروجی: گراف شبکه حمل و نقل (x_{ij})

قدم ۱: قرار دهید: $x_{ij} = 0$ ؛ $i \in O, j \in D$ $P(T)$ را کروموزوم اصلی و $P'(T)$ را مجموعه گره‌هایی از $\{1, 2, \dots, m, m+1, \dots, m+n\}$ در نظر بگیرید که در $P(T)$ وجود ندارند.

قدم ۲: مراحل a تا e را تا زمانی که در $P(T)$ عددی باقی نماند، تکرار کنید.

(a) قرار دهید نرا کوچکترین عدد در $P'(T)$ و z را چپ‌ترین عدد در $P(T)$.

(b) اگر i و z دو در مجموعه مبادی یا مقاصد قرار ندارند، کمان (i, j) را به گراف اضافه کنید. در غیر اینصورت، عدد بعدی (از سمت چپ) b_k را از $P(T)$ که در مجموعه نقرار ندارد، انتخاب و جایگزین زنکنید و کمان (i, k) را اضافه کنید.

(c) (k) را از $P(T)$ و i را از $P'(T)$ حذف کنید. اگر (j, k) در باقیمانده $P(T)$ تکرار نشده، آن را به $P'(T)$ اضافه کنید.

(d) قرار دهید $b_{ij} = \min\{a_i, b_j\}$ کمان (i, j) را برای $x_{ik} = \min\{a_i, b_k\}$ در شرایطی که $i \in O, j, k \in D$

(e) بروز رسانی کنید؛ $a_i = a_i - x_{ij}$ و $b_j = b_j - x_{ij}$. $b_k = b_k - x_{ik}$

قدم ۳: در شرایطی که در $P(T)$ عددی باقی نمانده، دقیقاً دو گره نو زدرا $P'(T)$ باقی است. کمان (i, j) را به گراف اضافه کنید تا درختی با $m+n-1$ کمان بدست آید.

قدم ۴: اگر کلیه تقاضاهای برآورده شده است، توقف کنید. در غیر اینصورت، u مبدأ با مجموع ظرفیت $> a$ و z مقصد با مجموع تقاضای $< b$ هنوز وجود دارد. در این حالت چهار وضعیت زیر ممکن است اتفاق بیافتد:

I. اگر $1 > u > z$ در اینصورت کمان واصل دو گره با مقدار تقاضای مقصد به درخت اضافه می‌شود.

II. اگر $1 > u > 1$ در اینصورت تا برآورده شدن تمامی تقاضای مقصد باقیمانده یکی از مبادی به صورت تصادفی انتخاب می‌شود و کمان واصل آن دو با حداقل مقدار بین ظرفیت و تقاضا، به درخت اضافه می‌شود و ظرفیت و تقاضا بروز می‌گردد.

III. اگر $1 = u = z$ در اینصورت تقاضای مقصدی از ارضاء نشده توسط تنها مبدأ باقیمانده برآورده می‌گردد و کمان واصل آن‌ها با مقدار تقاضای هر مقصد به درخت اضافه می‌شود.

| | |
|---------------------------------------------------------|-----------------|
| جرم ذره نام در تکرار t | $M_i(t)$ |
| نیروی گرانشی بعد d ام وارد بر ذره نام در تکرار t ام | $F_i^d(t)$ |
| فاصله اقلیدسی بین ذره i ام و j ام در تکرار t ام | $R_{ij}(t)$ |
| آرشیو بهینه پارتو در تکرار t ام | $Pareto-opt(t)$ |
| عددی تصادفی در بازه $(0, 1)$ | $rand$ |
| ثابت گرانشی در تکرار t ام | $g(t)$ |
| ثابت گرانشی در ابتدای الگوریتم | g_0 |
| مقدار ثابت کوچک | ϵ |
| مقدار ثابت | β |
| تعداد کل ذرات | $Npop$ |
| حداکثر زمان اجرای الگوریتم | $Maxtime$ |

۲-۲-۳. ساختار الگوریتم

یک سیستم با $Npop$ ذره (عامل) را در نظر بگیرید. موقعیت ذره i ام در تکرار t ام $X_i(t)$ که به صورت زیر تعریف می‌شود، منطبق با ساختار کروموزوم در نظر گرفته شده برای جواب‌های مسئله می‌باشد.

$$X_i(t) = (x_i^1(t), \dots, x_i^d(t), \dots, x_i^D(t)) \quad (17)$$

که در آن $x_i^d(t)$ موقعیت ذره i ام در بعد d ام و تکرار t ام می‌باشد. مراحل کلی الگوریتم در قالب گام‌هایی که در ادامه تشریح می‌گردد، بیان می‌شود.

گام (۱) موقعیت $x_i^d(t)$ و سرعت $v_i^d(t)$ ذرات را در فضای D بعدی مسئله، برای ذره i جمعیت اول بطور تصادفی مقدار دهی اولیه کنید ($v_i^d(t)=0$).

گام (۲) برای هر ذره، مقادیر تابع هدف $fit^k(t)$ جداگانه محاسبه شود. سپس جواب‌ها دو به دو با یکدیگر مقایسه شده و جواب‌های نامغلوب در آرشیو بهینه پارتو $Pareto-opt(t)$ ذخیره گردند.

گام (۳) جرم جزئی حاصل از هر تابع هدف $m^k(t)$ و جرم مجموع $M_i(t)$ برای هر ذره، طبق روابط (۱۸) و (۱۹) محاسبه کنید.

$$m_i^k(t) = \frac{fit_i^k(t) - worst^k(t)}{best^k(t) - worst^k(t)}; \quad (18)$$

$$M_i(t) = \frac{\sum_{k=1}^K m_i^k(t)}{\sum_{j=1}^{Npop} \sum_{k=1}^K m_j^k(t)}; \quad (19)$$

در رابطه (۱۸) بهترین و بدترین مقدار تابع هدف برای مسئله حداقل‌سازی به صورت زیر محاسبه می‌شود.

$$best^k(t) = \min_{j \in \{1, 2, \dots, Npop\}} fit_j^k(t) \quad (20)$$

قدم ۱: قرار دهید: $x_{ij} = 0 ; i \in O, j \in D$

قدم ۲: انتخاب گره با بیشترین اولویت؛ $l = argmax\{v(k); k = 1:m+n\}$

قدم ۳: اگر $i^* \leftarrow l$ قرار دهید و

$$V. \quad j^* = argmin\{c_{i^*j}; v(m+j) \neq 0, j \in D\}$$

در غیر اینصورت قرار دهید: $j^* \leftarrow l - m$

$$VI. \quad i^* = argmin\{c_{ij^*}; v(i) \neq 0, i \in O\}$$

$$x_{i^*j^*} = min\{a_{i^*}, b_{j^*}\}$$

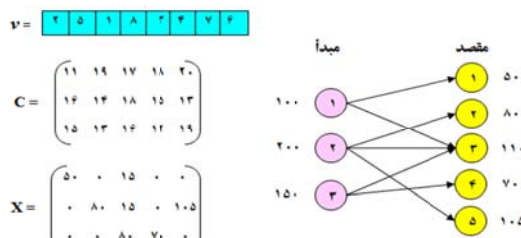
$$VII. \quad a_{i^*} = a_{i^*} - x_{i^*j^*}$$

$$VIII. \quad b_{j^*} = b_{j^*} - x_{i^*j^*}$$

قدم ۵: اگر $a_{i^*} = 0$ و $b_{j^*} = 0$ آنگاه $v(i^*) = 0$ و $v(m+j^*) = 0$

قدم ۶: اگر $v(m+j) = 0, \forall j \in D$ آنگاه توقف کنید، در غیر اینصورت به قدم دوم بروید.

برای تشریح الگوریتم کدگشایی فوق، مثال قبل را در نظر بگیرید. شبکه حمل و نقل حاصل از کدگشایی کروموزوم ارائه شده در شکل ۴، به صورت شکل ۵ می‌باشد.



شکل ۵. شبکه حاصل از کدگشایی اولویت محور

۲-۳-۲. الگوریتم MOGSA

در الگوریتم جستجوی گرانشی، یک مجموعه از ذرات دارای جرم، جهت یافتن جواب بهینه به کمک شبیه‌سازی قوانین گرانش و حرکت نیوتون بکار گرفته می‌شوند. در ادامه رویکرد چنددهدفه این الگوریتم برای حل مسئله مورد بررسی توسعه داده می‌شود.

۲-۳-۱. پارامترها و اجزای الگوریتم

پیش از تشریح ساختار کلی الگوریتم، ابتدا پارامترها و اجزای بکار رفته در آن بیان می‌گردد.

موقعیت بعد d ام ذره i ام در تکرار t ام

$$x_i^d(t)$$

سرعت بعد d ام ذره i ام در تکرار t ام

$$v_i^d(t)$$

شتات بعد d ام ذره i ام در تکرار t ام

$$a_i^d(t)$$

مقدار تابع هدف k ام ذره i ام در تکرار t ام

$$fit^k_i(t)$$

بهترین مقدار تابع هدف k ام در تکرار t ام

$$best^k(t)$$

بدترین مقدار تابع هدف k ام در تکرار t ام

$$worst^k(t)$$

جرم حاصل از تابع هدف k ام برای ذره i ام در

$$m_i^k(t)$$

تکرار t ام

$$a_i^d(t) = \frac{F_i^d(t)}{M_i(t)} \quad (25)$$

$$v_i^d(t+1) = rand_i \times v_i^d(t) + a_i^d(t) \quad (26)$$

$$x_i^d(t+1) = x_i^d(t) + v_i^d(t+1) \quad (27)$$

گام ۶) برای ذرات بهنگام شده همانند گام دوم، توابع هدف محاسبه می‌شود و ذرات با یکدیگر مقایسه می‌گردند. در این هنگام نوبت به بروز رسانی آرشیو بهینه پارتو می‌رسد. ذرات نامغلوب حاضر با ذرات موجود در آرشیو $Pareto-opt(t)$ مقایسه شده و ذرات نامغلوب نهایی، عناصر آرشیو بهینه پارتو- $Pareto-opt(t+1)$ را تشکیل می‌دهند. قابل ذکر است که اندازه آرشیو بهینه پارتو نامحدود در نظر گرفته شده است.

گام ۷) اگر شرط توقف الگوریتم برآورده شده است، الگوریتم پایان می‌یابد. در غیر اینصورت به گام سوم برگردید.

$$worst^k(t) = \max_{j \in \{1, 2, \dots, N_{pop}\}} fit_j^k(t) \quad (21)$$

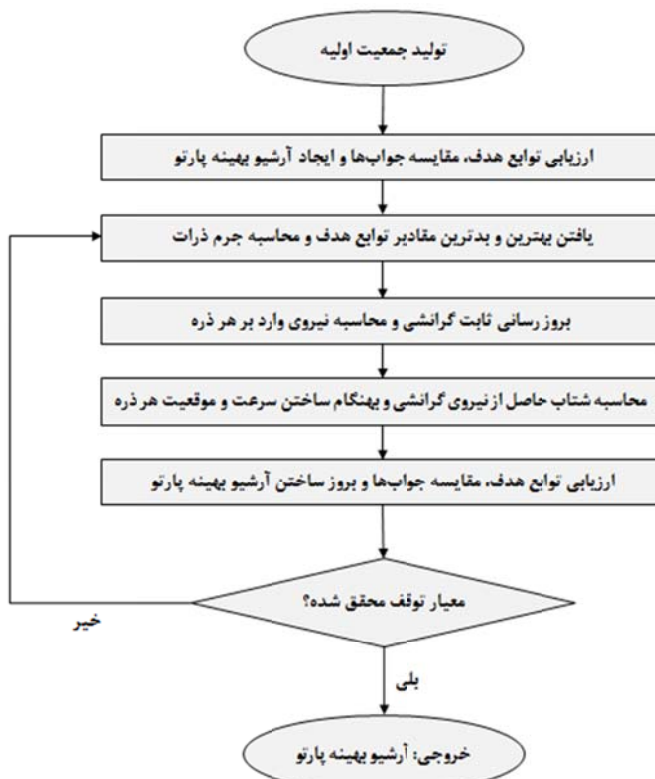
گام ۴) در این مرحله ابتدا فاصله اقلیدسی $R_{ij}(t)$ بین ذرات طبق رابطه (۲۲) محاسبه می‌شود. سپس مقدار ثابت گرانشی (t) بطبق رابطه (۲۳) بروز می‌گردد و نهایتاً نیروی گرانشی $F_i^d(t)$ وارد بر ذرات طبق رابطه (۲۴) محاسبه می‌شود.

$$R_{ij}(t) = \sqrt{(x_i^1 - x_j^1)^2 + \dots + (x_i^D - x_j^D)^2} \quad (22)$$

$$g(t) = g_0 e^{-\beta(t/Maxtime)} \quad (23)$$

$$F_i^d(t) = \sum_{j \in Pareto-opt(t)} rand_j \cdot g(t) \cdot \frac{M_j(t) \cdot M_i(t)}{R_{ij}(t) + \epsilon} \cdot (x_j^d(t) - x_i^d(t)) \quad (24)$$

گام ۵) با محاسبه $A_i F_i^d(t)$ ابتدا شتاب ذرات $a_i^d(t)$ طبق رابطه (۲۵) محاسبه می‌شود و به دنبال آن سرعت $v_i^d(t)$ و موقعیت $x_i^d(t)$ ذرات طبق روابط (۲۶) و (۲۷) بروز می‌گردد.



شکل ۶. نمودار جریان الگوریتم MOGSA

ابتدا شامل سطوحی است که برای کارخانه‌ها در نظر گرفته می‌شود و سپس شبکه حمل و نقل بین کارخانه‌ها و انبارها را ترسیم می‌کند. نهایتاً بخش سوم، مربوط به شبکه حمل و نقل بین انبارها و مشتریان می‌باشد.

۳-۲-۳. تولید جمعیت اولیه
از آنجا که شبکه زنجیره تأمین مورد بررسی سه مرحله‌ایست، ساختار کروموزوم‌ها هم از سه بخش تشکیل می‌یابد؛ بخش اول مربوط به مرحله اول و شبکه حمل و نقل بین تأمین‌کنندگان و کارخانه‌ها می‌باشد. بخش دوم که متعلق به مرحله دوم است،

سه سطح حفاظتی زیست محیطی برای کارخانه‌ها و یک نوع ماده اولیه جهت مونتاژ محصول نهایی در نظر گرفته شده است.

در شکل ۷ یک نمونه کروموزوم شدنی به روش عدد پروفر در روشنایش ارائه می‌شود، در شرایطی که زنجیره تأمین دارای دو تأمین کننده، سه کارخانه، سه انبار و چهار مشتری است و

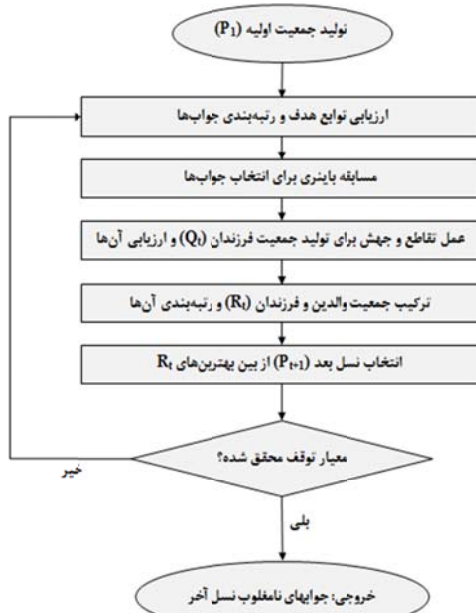


شکل ۷. نمونه کروموزوم شدنی با هر دو روش نمایش

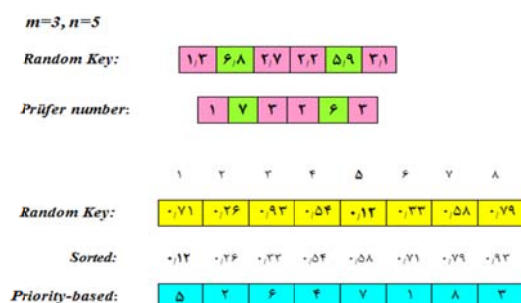
ارزیابی شده و با یک روش مرتب‌سازی نامغلوب سریع، سطح‌بندی می‌گردد. به هر جواب، رتبه‌ای با توجه به سطح نامغلوب‌اش اختصاص می‌یابد (رتبه ۱ برای جواب‌های نامغلوبی که در بهترین سطح یعنی سطح اول قرار دارند، رتبه ۲ برای جواب‌های سطح دوم و الی آخر). در ادامه با استفاده از روش انتخاب مسابقه باینری مبتنی بر عملگر مقایسه تراکمی ($n \times n$)، و عملگرهای تقاطع و جهش، جمعیت فرزندان (Q_t) تولید می‌گردد. از ترکیب دو جمعیت والدین و فرزندان، جمعیت حاصل می‌شود. بعد از مرتب‌سازی $R_t = P_t \cup Q_t$ یک روش نجخه گرایانه، جمعیت نسل بعد والدین (P_{t+1}) از بین بهترین‌های R_t انتخاب می‌گردد. رویه تولید نسل تا محقق شدن شرط توقف الگوریتم ادامه می‌یابد. نهایتاً جواب‌های نامغلوب با رتبه یک نسل آخر به عنوان مجموعه جواب‌های بهینه پارتو معرفی می‌شوند.

با توجه به اینکه الگوریتم جستجوی گرانشی جزء الگوریتم‌های با فضای حل پیوسته به شمار می‌آید، لذا از روش کلید تصادفی^۸ برای تولید کروموزوم موقعیت ذرات استفاده می‌شود. در این صورت دو مرحله کدگشایی باید صورت پذیرد؛ ابتدا تبدیل کلید تصادفی به یکی از روش‌های نمایش و سپس کدگشایی کروموزوم به جوابی شدنی از فضای حل مسأله. برای توضیح بیشتر در رابطه با ساختار کلید تصادفی، به مثال‌های زیر توجه کنید. قابل ذکر است که ساختار در نظر گرفته شده، همانگونه که در شکل ۸ قابل مشاهده است، جواب‌های موجه و شدنی برای مسأله تولید می‌کند.

بعد از مقداردهی تصادفی اولیه موقعیت ذرات، سرعت آنها نیز در ابتدا صفر در نظر گرفته می‌شود. باید توجه داشت که در مرحله کدگشایی، کروموزوم‌ها مرحله به مرحله و از انتهای به ابتدا کدگشایی می‌شوند. به عبارت دیگر ابتدا بخش سوم کروموزوم، سپس بخش دوم و در نهایت بخش اول آن رمزگشایی می‌گردد.



شکل ۹. نمودار جریان الگوریتم NSGA-II

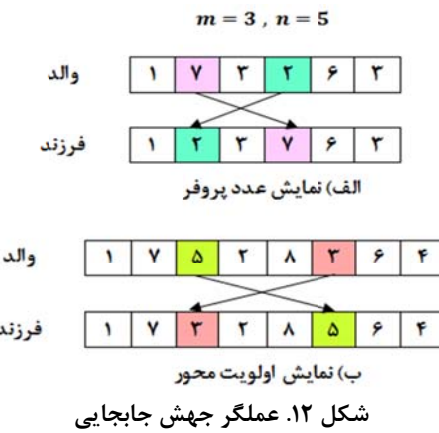


شکل ۸. ساختار کلید تصادفی و تبدیل آن به

کروموزومها

۳-۳. الگوریتم^۹ NSGA-II

مطابق با الگوریتم مرتب‌سازی نامغلوب ژنتیک ۲ ارائه شده توسط دب و همکاران [۳۴]، ابتدا جمعیت اولیه والدین (P_1) از کروموزوم‌های طراحی شده برای مسأله به صورت تصادفی تولید می‌شود. سپس جمعیت تولید شده بر اساس مقادیر توابع هدف،



۴. نتایج محاسباتی

در این بخش، ابتدا چگونگی تولید داده‌های آزمایشی برای مسائل نمونه در اندازه‌های مختلف تشریح می‌شود. سپس مقادیر پارامترهای الگوریتم‌های پیشنهادی، به روش طراحی آزمایش‌های تاگوچی تنظیم می‌گردد. در ادامه نتایج حاصل از حل مسائل نمونه توسط الگوریتم‌ها، ارائه و مقایسه می‌شود. کلیه الگوریتم‌ها در محیط نرم افزار متلب R2009a توسط کامپیوتری با CPU Intel®Core™ Due با RAM 2.2GB برنامه‌نویسی شده‌اند.

۴-۱. طراحی مسائل نمونه

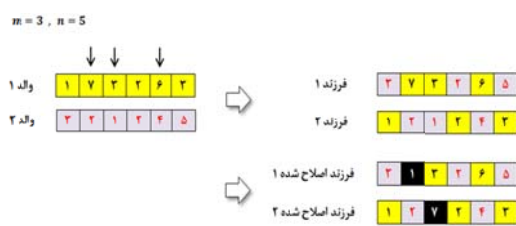
مطابق با جدول ۱، نه اندازه متفاوت با توجه به تعداد تأمین-کنندگان، تولیدکنندگان، توزیعکنندگان و مشتریان برای مسائل نمونه در نظر گرفته شده است که در هر اندازه، چهار نوع مسئله متمایز بر اساس تعداد مواد اولیه و بازه‌های انتخابی برای هزینه‌های ثابت ارسال در هر مرحله بکار گرفته می‌شود. در مجموع ۳۶ مسئله نمونه برای آزمایش طراحی شده است. سایر پارامترهای مورد نیاز برای مسائل، به شرح جدول ۲ تنظیم می‌گردند.

جدول ۱. ساختار مسائل نمونه

| اندازه مسائل ($S \times I \times J \times K$) | آباغ مسائل | تعداد مواد اولیه (R) | بازه هزینه‌های منتظر ارسال | | | بازه هزینه‌های ثابت ارسال | | |
|----------------------------------------------------|---------------|-------------------------|----------------------------|--------|---------|---------------------------|-----------|------------|
| | | | c_1 | c_2 | c_3 | f_1 | f_2 | f_3 |
| $5 \times 3 \times 5 \times 10$ | I | 1 | (20,3) | (5,10) | (10,15) | (80,160) | (50,100) | (100,210) |
| $5 \times 4 \times 10 \times 15$ | II | 1 | (20,3) | (5,10) | (10,15) | (400,800) | (250,500) | (500,1000) |
| $5 \times 5 \times 15 \times 20$ | III | 2 | (20,3) | (5,10) | (10,15) | (80,160) | (50,100) | (100,210) |
| $10 \times 6 \times 10 \times 20$ | IV | 2 | (20,3) | (5,10) | (10,15) | (400,800) | (250,500) | (500,1000) |
| $10 \times 8 \times 15 \times 25$ | | | | | | | | |
| $10 \times 10 \times 20 \times 30$ | | | | | | | | |
| $20 \times 10 \times 15 \times 30$ | | | | | | | | |
| $20 \times 12 \times 20 \times 35$ | | | | | | | | |
| $20 \times 15 \times 25 \times 40$ | | | | | | | | |

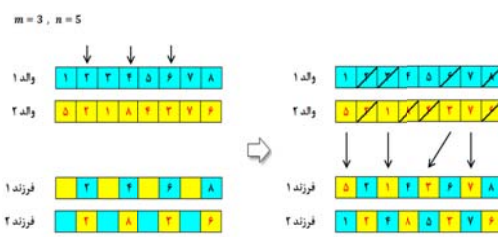
۱-۳-۳. عملگر تقاطعی^{۱۰}

در فرآیند ترکیب، یک جفت کروموزوم از جمعیت والدین انتخاب و با هم ترکیب می‌گردد تا یک جفت کروموزوم جدید به عنوان فرزند تولید شود. در این مقاله، از روش تقاطعی^{۱۱} استفاده شده است. در شکل‌های ۱۰ و ۱۱، طریقه عملکرد این عملگر برای هر دو روش نمایش پیشنهادی تشریح می‌گردد.



شکل ۱۰. عملگر تقاطعی^{۱۰} برای نمایش عدد پروفور

باید توجه داشت که عمل تقاطع روی هر سه بخش کروموزوم مفروض برای مسئله، به صورت جداگانه انجام می‌شود.



شکل ۱۱. عملگر تقاطعی^{۱۰} برای نمایش اولویت محور

۱-۳-۴. عملگر جهش

به کمک عملگر جهش، $(r_c - 1)\%$ از جمعیت فرزندان تولید می‌گردد. در این روش، یک کروموزوم از جمعیت والدین انتخاب و به کروموزومی جدید تبدیل می‌شود. در این مقاله، از عملگر جهش جابجایی^{۱۲} استفاده شده است که در شکل ۱۲ برای هر دو روش نمایش اولویت محور تشریح می‌گردد. قابل ذکر است که عملگر جهش تنها بر روی یکی از سه بخش کروموزوم مفروض برای مسئله، که به تصادف انتخاب می‌شود، اعمال می‌گردد.

ممکن، بهترین مقدار برای هر پارامتر تعیین می‌گردد. در جدول ۳، پارامترهای مؤثر بر الگوریتم‌های پیشنهادی به همراه سطوح در نظر گرفته شده برای آن‌ها ارائه شده است.

با توجه به اینکه الگوریتم‌های MOGSA و NSGA-II به ترتیب، چهار و دو پارامتر سه سطحی دارند و درجه آزادی آنها به ترتیب، $9 = 1+4(3-1)$ و $5 = 1+2(3-1)$ می‌باشد، لذا بر اساس جداول تاگوچی، طرح ترکیبی $L_9(3^4)$ برای هر الگوریتم جهت انجام آزمایش انتخاب می‌شود. مدت زمان اجرای هر الگوریتم، به عنوان شرط توقف آن، متناسب با اندازه هر مسئله و معادل با $(S + I + J + K + R + L) \times 5$ ثانیه در نظر گرفته شده است.

جدول ۳. پارامترها و سطوح آن‌ها

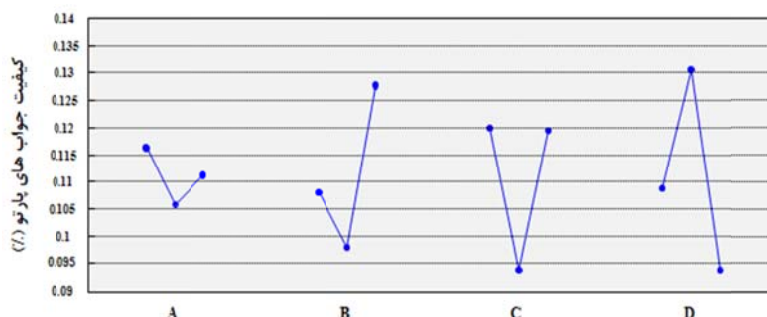
| پارامتر | نماد | سطوح |
|----------------------------|------|----------------------------------------|
| (pop_size) اندازه جمعیت | A | A(1) - 50 A(2) - 100 A(3) - 200 |
| ثابت g_0 | B | B(1) - 50 B(2) - 100 B(3) - 150 |
| ثابت ε | C | C(1) - 0.1 C(2) - 0.2 C(3) - 0.3 |
| ثابت β | D | D(1) - 10 D(2) - 20 D(3) - 30 |
| نرخ تقاطع (r_c) | E | E(1) - 0.7 E(2) - 0.8 E(3) - 0.9 |

جدول ۲. طراحی پارامترهای مسائل

| پارامتر | تنظیم پارامتر |
|--------------------------------------------|----------------------------------------------------------|
| L | 3 |
| D_k | $U[50,200]$ |
| $\sum_j N_j$ | $\alpha \sum_k D_k ; 1 < \alpha < 2$ |
| $\sum_i M_{i,1}$ | $\alpha \sum_k D_k ; 1 < \alpha < 2$ |
| $M_{i,2}$ | $1.5 M_{i,1}$ |
| $M_{i,3}$ | $2 M_{i,1}$ |
| $\sum_x S P_{x,r}$ | $\alpha \max_{i,x} (u_{rl}) \sum_k D_k ; 1 < \alpha < 2$ |
| $V_{i,1}$ | $U[4,12]$ |
| $V_{i,2}$ | $0.9 V_{i,1}$ |
| $V_{i,3}$ | $0.75 V_{i,1}$ |
| $u_{r,i,l}$ | $U[1,3]$ |
| t_k | $U[2,7]$ |
| $h_{j,k}$ | $U[3,8]$ |
| p_k | $U[1,4]$ |
| $e_{si}^{(1)}, e_{ij}^{(2)}, e_{jk}^{(3)}$ | $U[90,130]$ |
| $W_{i,1}$ | $U[15,30]$ |
| $W_{i,2}$ | $0.8 W_{i,1}$ |
| $W_{i,3}$ | $0.65 W_{i,1}$ |
| $G_{i,1}$ | $U[5000, 8000]$ |
| $G_{i,2}$ | $1.8 G_{i,1}$ |
| $G_{i,3}$ | $2.5 G_{i,1}$ |

۴-۲. تنظیم پارامتر الگوریتم‌ها

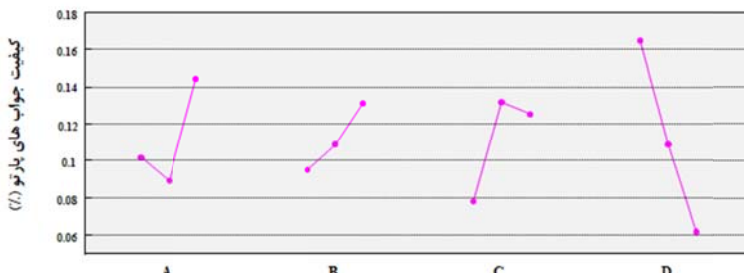
با توجه به اینکه کارایی یک الگوریتم فراابتکاری تا حدود زیادی به تعیین مناسب پارامترهای آن بستگی دارد، لذا برای تنظیم پارامترهای الگوریتم‌های توسعه داده شده در این تحقیق، از روش طراحی آزمایش‌های تاگوچی [۳۵] استفاده شده است. در این روش با توجه به تعداد پارامترهای هر الگوریتم و سطوح در نظر گرفته شده برای آنها، بر اساس جداول تاگوچی، یک طرح ترکیبی از سطوح مختلف پارامترها جهت آزمایش انتخاب می‌شود که با کمترین تعداد آزمایش



شکل ۱۳. نمودار میانگین درصد کیفیت برای سطوح مختلف پارامترهای (1) MOGSA با نمایش عدد پروفو

نمودار میانگین درصد کیفیت جواب‌ها، برای هر سطح پارامتر MOGSA با هر دو روش نمایش ارائه شده است.

نتایج حاصل از آزمایشات برای ۳۶ مسئله نمونه بر اساس شاخص کیفیت جواب‌های پارتیو، که در بخش بعد معرفی می‌گردد، تحلیل و ارزیابی می‌شود. در شکل‌های ۱۳ و ۱۴



شکل ۱۴. نمودار میانگین درصد کیفیت برای سطوح مختلف پارامترهای (2) MOGSA با نمایش اولویت محور

داشته است. برای محاسبه درصد کیفیت جواب‌های بهینه پارتو، همه جواب‌های بدست آمده توسط چهار الگوریتم برای هر مسئله، با هم ترکیب و مقایسه شده و مجموعه جواب‌های نامغلوب نهاییت شکلی می‌گردد. سهم هر الگوریتم از مجموعه نهاییت بدست آمده به صورت درصد، کیفیت آن الگوریتم را مشخص می‌سازد. فاصله و تنوع جواب‌ها به ترتیب طبق روابط (۲۸) و (۲۹) محاسبه می‌شوند:

$$S = \left[\frac{1}{N-1} \sum_{i=1}^{N-1} (\bar{d} - d_i)^2 \right]^{1/2} \quad (28)$$

$$D = \sqrt{\sum_{i=1}^N \max_j (\|x_i - y_j\|)} \quad (29)$$

در شرایطی که d_i فاصله اقلیدسی جواب x_i با جواب مجاورش در مجموعه پارتو، \bar{d} میانگین فواصل اقلیدسی d_i ، $\|x_i - y_j\|$ فاصله اقلیدسی بین دو جواب پارتولی x_i و y_j ، و N تعداد جواب‌های مجموعه پارتو می‌باشد.

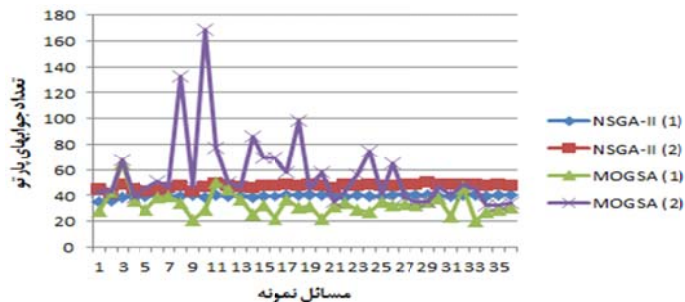
به این ترتیب، پارامترهای هر الگوریتم مطابق با جدول ۴ تنظیم می‌گردد.

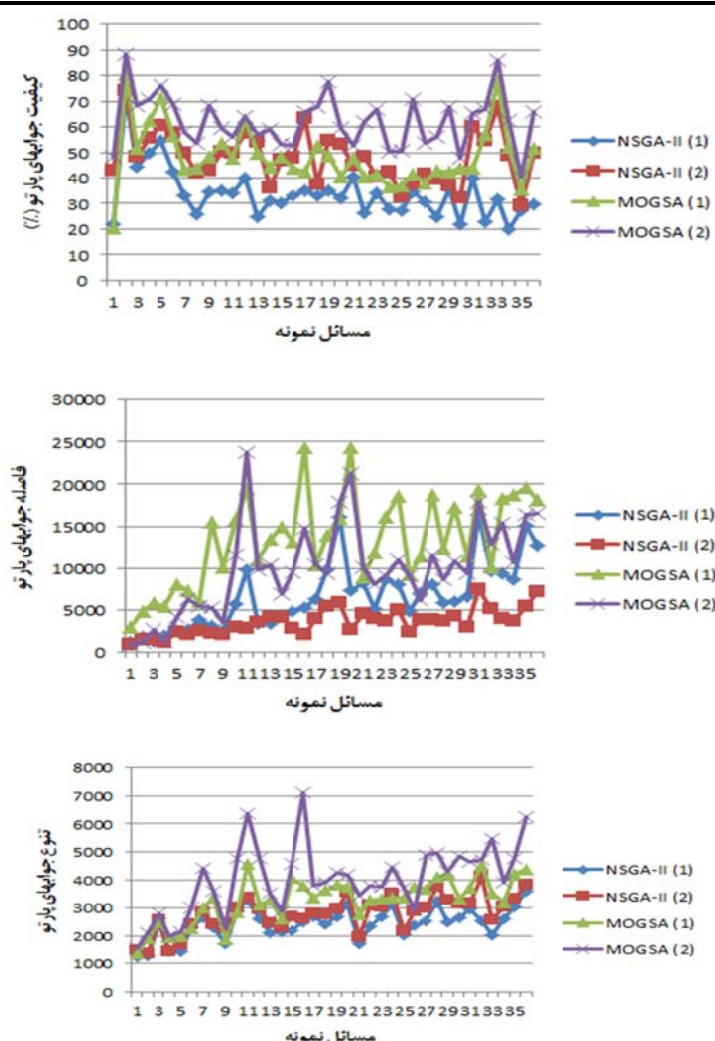
جدول ۴. پارامترهای تنظیم شده برای الگوریتم‌ها

| | pop_size | g_0 | ε | β | r_c |
|-------------|-------------|-------|---------------|---------|-------|
| MOGSA (1) | 50 | 150 | 0.1 | 20 | - |
| MOGSA (2) | 200 | 150 | 0.2 | 10 | - |
| NSGA-II (1) | 100 | - | - | - | 0.9 |
| NSGA-II (2) | 200 | - | - | - | 0.7 |

۳-۴. نتایج آزمایش‌ها

در این بخش، ۳۶ مسئله نمونه، به کمک الگوریتم‌های جستجوی گرانشی چند هدفه و مرتب‌سازی نامغلوب ژنتیک، با هر دو روش نمایش عدد پروفر و اولویت محور، حل شده‌اند. میانگین نتایج حاصل از ۵ بار اجرای هر مسئله توسط هر الگوریتم، بر پایه‌ی چهار شاخص؛ تعداد جواب‌های بهینه پارتو^{۱۴}، کیفیت^{۱۵}، فاصله^{۱۶} و تنوع^{۱۷} جواب‌های پارتو در نمودارهای شکل ۱۵ ارائه شده است. هرچه تعداد، کیفیت و تنوع جواب‌های بهینه‌پارتو در الگوریتمی بیشتر و در مقابل، فاصله جواب‌ها کمتر باشد، آن الگوریتم عملکرد بهتری را





شکل ۱۵. نمودارهای نتایج حاصل از حل مسائل نمونه

عملکرد بهتری را نسبت به سایرین داشته است. اما جواب‌های پارتوی تولید شده توسط الگوریتم‌ترسازی‌نمایغلوب ژنتیک ۲ با نمایش اولویت محور (2)، بر اساس شاخص فاصله، از یکنواختی توزیع بیشتری برخوردارند.

علاوه در مقایسه دو روش نمایش، نمایش اولویت محور نقش مؤثرتری را نسبت به روش عدد پروفدر عملکرد هر دو الگوریتم، برای تولید جواب‌های پارتوی بیشتر و با کیفیت‌تر و در عین حال یکنواخت و متنوع داشته است.

جدول ۵. مقایسه میانگین نتایج الگوریتم‌ها

| | تعداد | فامله | کیفیت (%) | تنوع |
|-------------|-------|-------|-----------|-------|
| NSGA-II (1) | ۰/۳۲ | ۳۲/۹ | ۰/۲۹ | ۰/۰۰۲ |
| NSGA-II (2) | ۰/۷۴ | ۴۸/۱۵ | ۰/۰۱ | ۰/۲۵ |
| MOGSA (1) | ۰/۱ | ۴۸/۴۵ | ۰/۹۷ | ۰/۵۴ |
| MOGSA (2) | ۰/۷۸ | ۶۲/۲۳ | ۰/۶ | ۰/۹۸ |

به منظور تحلیل نتایج حاصله جهت مقایسه الگوریتم‌ها، ابتدا نتایج بدست آمده برای معیارهای تعداد، فاصله و تنوع جواب‌های پارتو، با استفاده از شاخص انحراف نسبی^{۱۸} (RDI) بصورت زیر نرمالیزه می‌شوند.

$$RDI_i^j = \frac{f_i^j - \min(f_i^j)}{\max(f_i^j) - \min(f_i^j)} \quad (30)$$

در رابطه (۳۰)، منظور از f_i^j مقدار بدست آمده شاخص برای مسئله نام با الگوریتم j ام می‌باشد.

در جدول ۵، میانگین نتایج نرمالیزه شده حاصل از ۳۶ مسئله نمونه، محاسبه شده است. با توجه به این نتایج، الگوریتم جستجوی گرانشی‌چند‌هدفه با نمایش اولویت محور (2)، بر اساس شاخص‌های تعداد، کیفیت و تنوع جواب‌ها،

داد و موضوع باز یافت محصول را مطرح کرد. در رابطه با روش حل مدل نیز می‌توان سایر روش‌های فراباکاری نظری الگوریتم‌های رقابت استعماری (ICA)، جستجوی پراکنده (SS)، الکترو مغناطیس (EM) و غیره را بکار گرفت. علاوه با ترکیب کردن الگوریتم‌ها به منظور استفاده همزمان از مزایای آن‌ها، می‌توان الگوریتمی کارا و مؤثرتر طراحی کرد. همچنین برای تنظیم پارامترهای الگوریتم‌ها می‌توان از روش سطح پاسخ (RSM) استفاده کرد.

پی‌نوشت

1. Multi-Sourcing
2. Fixed Charge Transportation
3. Integer Linear Programming
4. Meta-heuristic Methods
5. Prefer Number Representation
6. Priority-based Representation
7. Multi-Objective Gravitational Search Algorithm
8. Random Key
9. Non-dominated Sorting Genetic Algorithm II
10. Crossover Operator
11. Position-based Crossover
12. Mutation Operator
13. Swap
14. Quantity Metric
15. Quality Metric
16. Spacing Metric
17. Diversity Metric
18. Relative Deviation Index
19. Closed-loop

مراجع

- [1] Beamon BM. Supply chain design and analysis:models and methods, International Journal of Production Economics, (1998), Vol. 55, pp. 281–294.
- [2] Srivasta SK. Green Supply Chain Management:A State of the Art Literature Review, International Journal of Management Reviews, (2007), Vol. 9 No. (1), pp. 53-80.
- [3] Boks C,Stevels A. Essential perspectives for design for environment experiences from the electronics industry, International Journal of Production Research, (2007), Vol. 45 (18-19), pp. 4021-4039.
- [4] Bilgen B, Ozkarahan I. Strategic, tactical and operational production distribution models: A review, International Journal of Technology Management, (2004), Vol. 28, pp. 151–171.

۵. نتیجه‌گیری

یکپارچه‌سازی و هماهنگی عناصر موجود در زنجیره تأمین، شامل خرید مواد اولیه و نیمه ساخت، تولید، توزیع و فروش محصولات، تأثیر چشمگیری در کاهش هزینه‌های زنجیره، کاهش زمانهای ارسال و تأخیرها در تحویل کالاهای از مراکز توزیع به بازارها و مراکز فروش و به تبع آن افزایش رضایتمندی مشتری‌ها را در بر دارد. علاوه با یک برنامه‌ریزی صحیح و منسجم، همزمان می‌توان در راستای بهبود عملکرد زیست محیطی زنجیره تأمین گام برداشت.

در این مقاله، برای مسئله برنامه‌ریزی یکپارچه خرید - تولید - توزیع در شبکه زنجیره تأمین سبز، مدلی قطعی و چندهدفه توسعه داده شد که سه هدف متناقض را در بر دارد: (۱) کمینه‌سازی هزینه‌های سیستم (هدف کمی) که در برگیرنده هزینه‌های خرید، تولید، توزیع و ارسال می‌باشد، (۲) کمینه‌سازی کل تأخیرها در تحویل کالاهای از مراکز توزیع به مشتریان (هدف کیفی) و (۳) کمینه‌سازی کل میزان دی‌اکسید کربن منتشر شده در اثر تولید و توزیع جریانات ارسالی در هر مرحله از زنجیره تأمین (هدف سبز).

با توجه به تضاد موجود بین توابع هدف و پیچیدگی مدل، رویکرد حل فراباکاری پارتیو (همزمانی) تحت عنوان الگوریتم جستجوی گرانشی چند هدفه (MOGSA)، با دو روش نمایش جواب عدد پروفر و اولویت محور بکار گرفته شد. در ادامه برای اثبات کارایی الگوریتم پیشنهادی، الگوریتم مرتب‌سازی نامغلوب ژنتیک ۲ (NSGA-II) برای مسئله پیاده‌سازی گردید. نتایج حاصل از حل ۳۶ مسئله نمونه تصادفی طراحی شده، بر اساس چهار شاخص تعداد، کیفیت، فاصله و نوع جواب‌های بهینه پارتیو، برای مقایسه الگوریتم‌ها مورد تحلیل قرار گرفت. تنظیم پارامترهای الگوریتم‌ها به روش طراحی آزمایش‌های تاگوچی انجام شد. بر اساس نتایج بدست آمده، الگوریتم MOGSA جواب‌های پارتیو بیشتر، با کیفیت-تر و متنوع‌تری را تولید کرده، در حالی که جواب‌های پارتیو تولید شده توسط الگوریتم NSGA-II، یکنواخت‌تر می‌باشند. در مقایسه دو روش نمایش بکار گرفته شده، کدگذاری اولویت محور با توجه به ساختار ساده‌تر آنهم در تولید کروموزوم شدنی و هم در کدگشایی، در عین حال نقش تأثیرگذارتری راهم در بهبود عملکرد هر دو الگوریتم نسبت به روش عدد پروفر داشته است.

برای تحقیقات آتی در این زمینه می‌توان جهت توسعه مدل، فاز مکان‌یابی کارخانه‌ها و انبارها یا فاز مسیریابی وسائط نقلیه در هر مرحله از زنجیره و در نظر گرفتن چند نوع وسیله نقلیه برای هر مسیر را به مدل اضافه کرد. ضمن اینکه می‌توان مدل را به مسئله طراحی شبکه زنجیره تأمین حلقه بسته ^{۱۹} تعمیر

- [15] Bose I, Pal R. Do green supply chain management initiatives impact stock prices of firms?, *Decision Support Systems*, (2012), Vol. 52, No. (3), pp. 624-634.
- [16] Tseng ML. Green supply chain management with linguistic preferences and incomplete information”, *Applied Soft Computing*, (2011), Vol. 11, No. (8), pp. 4894-4903.
- [17] Wang X, Chan HK, Yee R, Diaz-Rainey I.A two-stage fuzzy-AHP model for risk assessment of implementing green initiatives in the fashion supply chain, *International Journal of Production Economics*, (2012), Vol. 135, No. (2), pp. 595-606.
- [18] Kuo RJ, Wang YC, Tien FC. Integration of artificial neural network and MADA methods for green supplier selection, *Journal of Cleaner Production*, (2010), Vol. 18, No. (12), pp. 1161-1170.
- [19] Sheu JB, Chen YJ. Impact of government financial intervention on competition among green supply chains, *International Journal of Production Economics*, (2012), Vol. 138, No. (1), PP. 201-213.
- [20] Khan FI, Natrajan BR, Revathi P. A new methodology for cleaner and greener process design, *Journal of Loss Prevention in the Process Industries*, (2001), Vol. 14, No. (4), pp. 307-328.
- [21] Sheu JB. Green supply chain management, reverse logistics and nuclear power generation, *Transportation Research Part E: Logistics and Transportation Review*, (2008), Vol. 44, No. (1), pp. 19-46.
- [22] Zhou M, Pan Y, Chen ZH, Yang W, Li B. Selection and evaluation of green production strategies: analytic and simulation models, *Journal of Cleaner Production*, (2012), Vol. 26, pp. 9-17.
- [23] Diabat A, Govindan K. An analysis of the drivers affecting the implementation of green supply chain management, *Resources Conservation and Recycling*, (2011), Vol. 55, No.(6), pp. 659-667.
- [24] Sharma A, R. Iyer G. Resource-constrained product development: Implications for green marketing and green supply chains, *Industrial Marketing Management*, In Press, Corrected Proof, Available online 5 May (2012).
- [5] Kanda AA, Deshmukh SG. Supply chain coordination: Perspectives, empirical studies, and research directions, *International Journal of Production Economics*, (2008), Vol. 115, pp. 316-335.
- [6] Peidro D, Mula J, Poler R, Verdegay JL. Fuzzy optimization for supply chain planning under supply demand, and process uncertainties, *Fuzzy Sets and Systems*, (2009), Vol. 160, pp. 2640–2657.
- [7] Mula J, Peidro D, Poler R. The effectiveness of a fuzzy mathematical programming approach for supply chain production planning with fuzzy demand, *International Journal of Production Economics*, (2010), Vol. 128, No. (1), pp. 136-143.
- [8] Sarker J, Zhu Q, Lai KH. An organizational theoretic review of green supply chain management literature, *International Journal of Production Economics*, (2011), Vol. 130, No. (1), pp. 1-15.
- [9] Fortes J. Green supply chain management: A literature review, *Otago Management Graduate Review*, (2009), Vol. 7.
- [10] Dekker R, Bloemhof J, Mallidis I. Operations Research for green logistics – An overview of aspects, issues, contributions and challenges, *European Journal of Operational Research*, (2012), Vol. 219, pp. 671–679.
- [11] Wang F, Lai X, Shi SH. A multi-objective optimization for green supply chain network design”, *Decision Support Systems*, (2011), Vol. 51, No. (2), pp. 262-269.
- [12] Yeh WC, Chuang MC. Using multi-objective genetic algorithm for partner selection in green supply chain problems, *Expert Systems with Applications*, (2011), Vol. 38, No. (4), pp. 4244-4253.
- [13] Pishvaee MS, Torabi SA, Razmi J. Credibility-based fuzzy mathematical programming model for green logistics design under uncertainty, *Computers & Industrial Engineering*, (2012), Vol. 62, No. (2), pp. 624-632.
- [14] Azevedo SG, Carvalho H, Machado VC. The influence of green practices on supply chain performance: A case study approach, *Transportation Research - Part E: Logistics and Transportation Review*, (2011), Vol. 47, No. (6), pp. 850-871.

-
- algorithm: NSGA-II”, IEEE Transactions on Evolutionary Computation,(2002),Vol. 6, No. (2), pp. 182-197.
- [35] Taguchi G. Introduction to quality engineering, White Plains: Asian Productivity Organization/ UNIPUB, (1986).
- [25] Cucchiella F, D.Adamo I, Gastaldi M.Green Supply Chain and the Energy Recovery Plant in Abruzzo,Procedia - Social and Behavioral Sciences, (2011), Vol. 25, pp. 54-72.
- [26] Lee AHI, Kang HY, Hsu CF, Hung HC.A green supplier selection model for high-tech industry, Expert Systems with Applications, (2009), Vol. 36, No. (4), pp. 7917-7927.
- [27] Lai KH, WY Wong CH.Green logistics management and performance: Some empirical evidence from Chinese manufacturing exporters, Omega, (2012), Vol. 40, No. (3).
- [28] Abdallah T, Farhat A, Diabat A, Kennedy S.Green supply chains with carbon trading and environmental sourcing: Formulation and life cycle assessment, Applied Mathematical Modeling, In Press, Corrected Proof, Available online 28 November (2011).
- [29] Venus Lun YH.Green management practices and firm performance: A case of container terminal operations, Resources Conservation and Recycling, (2011), Vol. 55, No. (6), pp. 559-566.
- [30] Dimopoulos C, Zalzala AMS. Recent Developments in Evolutionary Computation for Manufacturing Optimization: problems, solutions and comparisons, IEEE Transactions on Evolutionary Computation, (2000), Vol. 4, No. (2), pp. 93–113.
- [31] Rashedi E, Nezamabadi-Pour H, Saryazdi S. GSA: A Gravitational Search Algorithm, Information Sciences, (2009), Vol. 179, pp. 2232–2248.
- [32] Hajiaghaei-Keshteli M, Molla-Alizadeh-Zavardehi S, Tavakkoli-Moghaddam R. Addressing a nonlinear fixed-charge transportation problem using a spanning tree-based genetic algorithm, Computers & Industrial Engineering,(2010),Vol. 59, pp. 259-271.
- [33] Gen M, Altiparmak F, Lin L. A genetic algorithm for two-stage transportation problem using priority-based encoding, Published online: 8 February (2006) © Springer-Verlag.
- [34] Deb K, Pratap A, Agarwal S, Meyarivan T. A fast elitist multi-objective genetic